

# Исследование газоохладителей тепловых насосов на R744

Д-р техн. наук И. М. КАЛНИНЬ,  
д-р техн. наук И. В. ДЕРЕВИЧ,  
С. Б. ПУСТОВАЛОВ  
МГУИЭ

*A technique and results of computational, theoretical, experimental and numerical investigation of gas coolers of new design, intended for heating of the network water, when working in heat pumps using R744 as a working substance THCO<sub>2</sub> are presented. It is demonstrated that when the recommended operational parameters are fulfilled, an essential increase in technical and economical indices of gas coolers and the whole THCO<sub>2</sub> is ensured.*

В настоящее время в России в соответствии с Федеральной целевой программой “Исследования и разработки по приоритетным направлениям развития науки и техники на 2002–2006 годы” по теме № 24 “Создание технологий и оборудования для использования низкопотенциальных тепловых ресурсов для целей теплоснабжения” с участием НПФ “ЭКИП”, МГУИЭ, ОАО “НПО Гелиймаш” и др. создаются тепловые насосы, работающие на диоксиде углерода (THCO<sub>2</sub>) [3]. Это принципиально новые машины, практически все элементы которых разрабатываются впервые.

Теплообменный аппарат – газоохладитель ГО THCO<sub>2</sub>, в котором происходит охлаждение газообразного диоксида углерода (R744) без фазового перехода и нагрев сетевой воды, относится к основным элементам THCO<sub>2</sub> и во многом определяет технико-экономические показатели теплового насоса.

Как показал проведенный анализ, для крупных THCO<sub>2</sub> наибо-

лее приемлема кожухотрубная конструкция газоохладителя с витым пучком трубок, а для малых – кожухозмеевиковая с потоком газообразного R744 в трубках.

Для создания ГО THCO<sub>2</sub> необходимы надежные данные о закономерностях теплопередачи между рабочим веществом (R744) и теплоносителем (сетевая вода). Однако экспериментальные данные по теплоотдаче от охлаждаемого R744 в условиях работы реальных ГО THCO<sub>2</sub> в настоящее время отсутствуют.

В THCO<sub>2</sub> осуществляется газожидкостный термодинамический цикл (в отличие от парожидкостного во фреоновых ТН). В ГО THCO<sub>2</sub> R744 всегда находится при сверхкритическом давлении (СКД) в околоскритической области, где теплофизические свойства, прежде всего плотность и теплоемкость, при постоянном давлении в большой степени зависят от температуры.

Методикой расчета аппарата должны учитываться существенное нелинейное изменение температуры газообразного R744 вдоль канала, а также градиент температуры по сечению канала в пристеночном слое трубки.

Для расчета теплоотдачи от рабочего вещества при постоянных (слабопеременных) его свойствах использована зависимость на основе корреляции Петухова–Кириллова [5]:

$$\text{Nu}^0 = \frac{(\xi^0 / 8) \text{Re} \cdot \text{Pr}}{1 + 900/\text{Re} + 12,7 (\xi^0 / 8)^{1/2} (\text{Pr}^{2/3} - 1)} \quad (1)$$

Коэффициент гидравлического сопротивления рабочего вещества при постоянных свойствах  $\xi^0$  рассчитывают по формуле Филоненко [5]:

$$\xi^0 = (1,82 \log \text{Re} - 1,64)^{-2}. \quad (2)$$

Критерий Нуссельта  $\text{Nu}^0$  (1) определяют по среднемассовой температуре рабочего вещества в сечении. Для учета градиента температуры в пристеночном слое используют поправку Краснощекова–Протопопова к числу Нуссельта [4]:

$$\text{Nu} = \text{Nu}^0 \left( \frac{\bar{c}_p}{c_{pc}} \right)^d \cdot \left( \frac{\rho_c}{\rho_n} \right)^b, \quad (3)$$

где  $\bar{c}_p = \frac{i_c - i_n}{T_c - T_n}$  – среднемас-

совая теплоемкость;

$i$  – энталпия;

$T$  – температура;

$c_p$  – теплоемкость;

$\rho$  – плотность;

$d, b$  – показатели степени;

нижние индексы:  $c$ ,  $n$  – на стенке и в ядре потока соответственно.

Поправка Петрова–Попова [4] для коэффициентов гидравлического сопротивления:

$$\xi = \xi^0 \left( \frac{\rho_c}{\rho_n} \right)^m \cdot \left( \frac{\mu_c}{\mu_n} \right)^s, \quad (4)$$

где  $\mu$  – коэффициент динамической вязкости;

$m$  и  $s$  – показатели степени.

Для решения поставленной задачи обычно применяют дискретный метод (разбиение на участки) [1], который в рассматриваемом случае приводит к существенным отклонениям от

реальных интегральных характеристик аппарата.

В данной работе предложен дифференциальный (непрерывный) метод расчета [2, 6], основанный на решении системы уравнений

$$\begin{cases} c_{pa} G_a \frac{dT_a}{dx} = k_{aw} (T_w - T_a); \\ c_{pw} G_w \frac{dT_w}{dx} = -k_{aw} (T_a - T_w), \end{cases} \quad (5)$$

где  $G$  – расход;

$T$  – среднемассовая температура;

$x$  – длина канала;

$k$  – коэффициент теплопередачи; нижние индексы:  $a$ ,  $w$  – рабочее вещество и теплоноситель соответственно.

$$k_{aw} = \pi \left[ \frac{1}{\alpha_a D_1} + \frac{\pi}{\alpha_w \Pi_2} + \frac{1}{2\lambda_v} \ln \left( \frac{D'_1}{D_1} \right) \right]^{-1};$$

$$\alpha_a = \text{Nu} \frac{\lambda_a}{D_1}; \alpha_w = \text{Nu}^0 \frac{\lambda_w \pi}{\Pi_2},$$

где  $\alpha$  – коэффициент теплоотдачи;

$D_1$  – внутренний диаметр трубы;

$\Pi_2$  – периметр теплового контакта между рабочим веществом и теплоносителем;

$\lambda$  – коэффициент теплопроводности;

$D'_1$  – наружный диаметр трубы;

нижний индекс:  $v$  – трубка.

Геометрические параметры кожухозмеевикового газоохладителя приведены на рис. 1.

Система уравнений (5) описывает изменение температур рабочего вещества и теплоносителя в каждом сечении канала и позволяет находить распределение температур охлаждаемого R744 и воды по длине канала в режиме противотока, а также интегральные характеристики ГО ТНСО2.

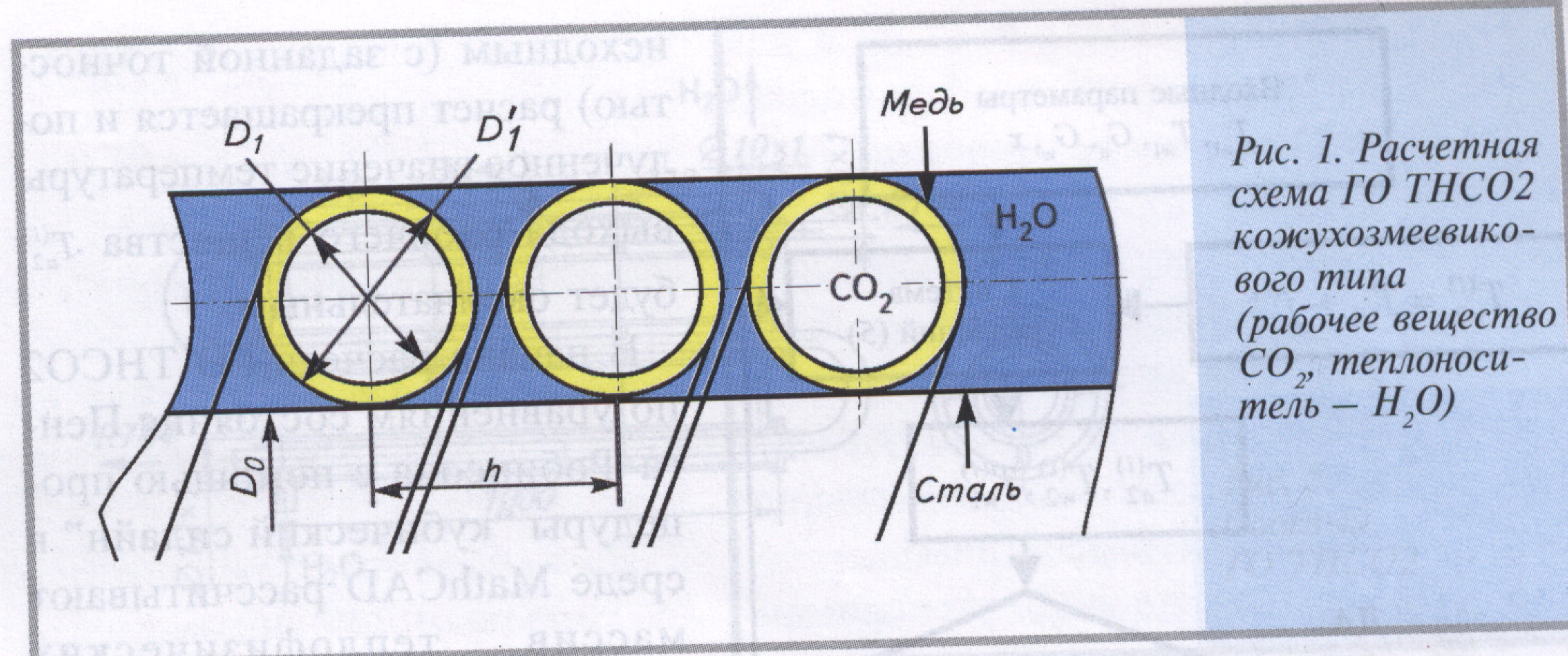


Рис. 1. Расчетная схема ГО ТНСО2 кожухозмеевикового типа (рабочее вещество  $\text{CO}_2$ , теплоноситель –  $\text{H}_2\text{O}$ )

Интегральные значения перепадов давлений рабочего вещества  $\Delta p_a$  и теплоносителя  $\Delta p_w$  в аппарате рассчитывают по классическим формулам.

Для численной реализации дифференциального метода расчета ГО ТНСО2 разработаны алгоритмы проектного и поверочного расчетов.

При проектном расчете (рис. 2) задают расходы, входные и выходные температуры, давление рабочего вещества и теплоносителя. Определяют температурный напор и интегральный коэффициент теплопередачи при осредненных теплофизических свойствах, с учетом которого затем рассчитывают промежуточное значение требуемой длины канала  $x^{(i)}(k_{aw})$ . Затем из системы уравнений (5) получают промежуточные значения температур выхода теплоносителя  $T_{w1}^{(i)}$  и выхода рабочего вещества  $T_{a2}^{(i)}$ .

Если эти температуры не совпадают с заданными, проводят итерационную процедуру, находят  $x^{(i+1)}$  и возвращаются к решению системы (5). Расчет прекращают, когда полученные значения температур совпадут с исходными с заданной точностью.

При поверочном расчете (рис. 3) задают входные темпе-

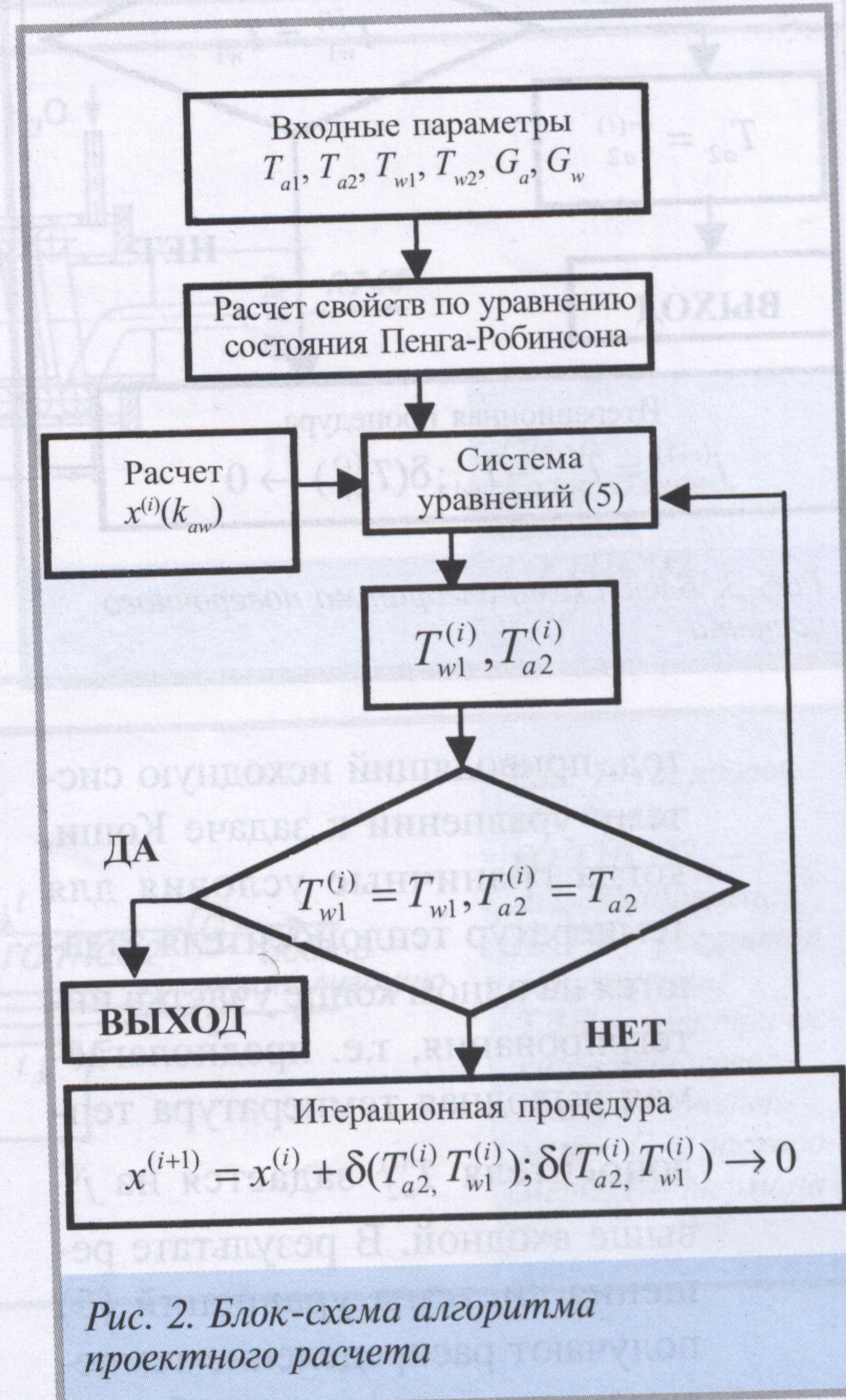
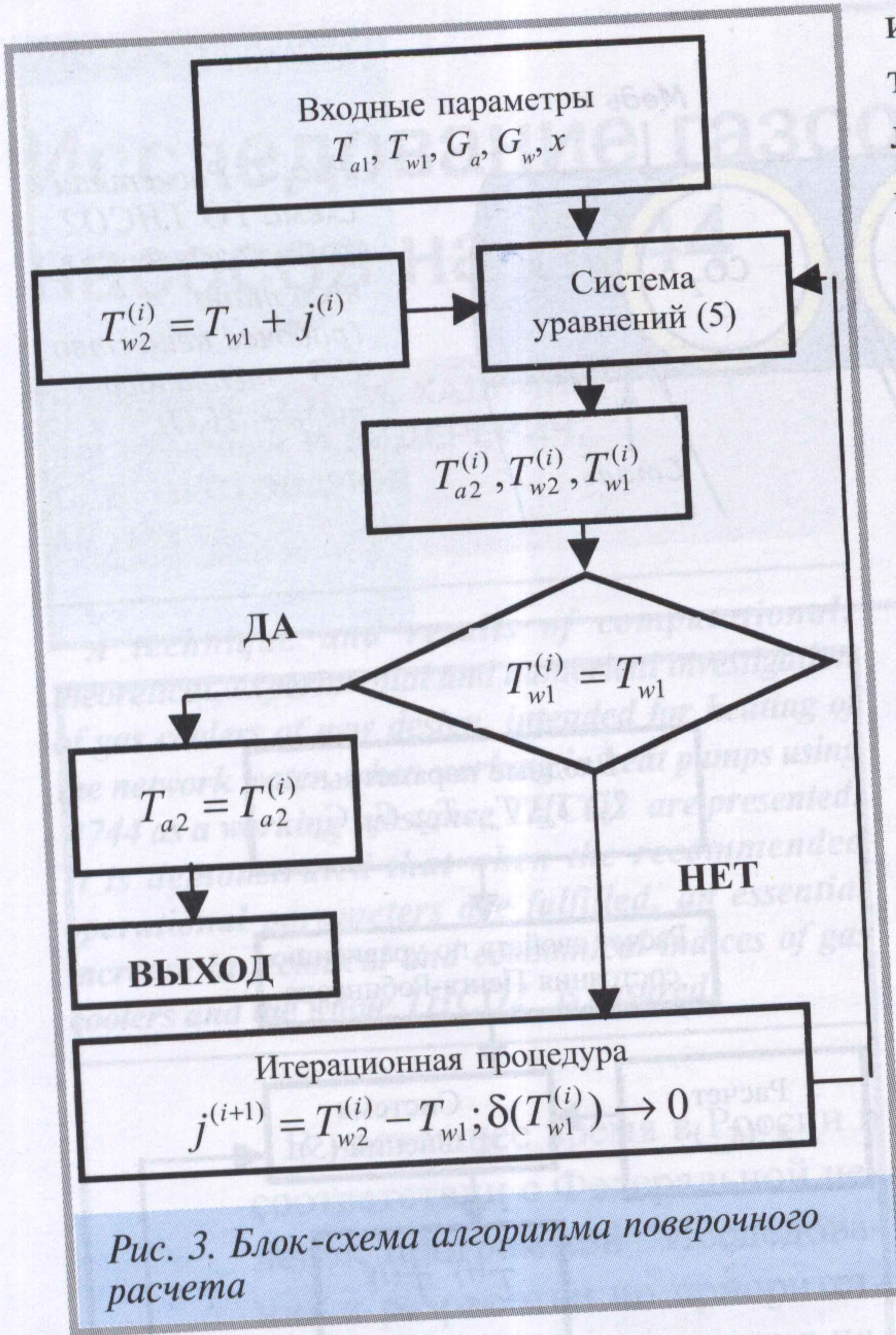


Рис. 2. Блок-схема алгоритма проектного расчета

ратуры, давление и расходы рабочего вещества и теплоносителя, тепловую нагрузку и параметры теплообменной поверхности. Искомой величиной являются выходные температуры.

Численное решение системы уравнений (5) осложняется тем, что входные температуры рабочего вещества и теплоносителя заданы на противоположных концах участка интегрирования. Для этого случая предложен ме-



тод, приводящий исходную систему уравнений к задаче Коши, когда граничные условия для температур теплоносителя задаются на одном конце участка интегрирования, т.е. предполагаемая выходная температура теплоносителя  $T_{w1}^{(i)}$  задается на  $j^{(i)}$  выше входной. В результате решения системы уравнений (5) получают распределение температур теплоносителя и рабочего вещества по длине  $x$ , а также промежуточные значения температур рабочего вещества на выходе  $T_{a2}^{(i)}$  и теплоносителя на выходе  $T_{w1}^{(i)}$ . Если полученное значение  $T_{w1}^{(i)}$  отличается от исходного на некоторую величину  $\delta(T_{w1}^{(i)})$ , то происходит обращение к итерационной процедуре и решение системы (5) повторяется.

При совпадении значения  $T_{w1}^{(i)}$  с

исходным (с заданной точностью) расчет прекращается и полученное значение температуры выхода рабочего вещества  $T_{a2}^{(i)}$  будет окончательным.

В начале расчета ГО ТНСО2 по уравнениям состояния Пенга–Робинсона с помощью процедуры “кубический сплайн” в среде MathCAD рассчитывают массив теплофизических свойств рабочего вещества и теплоносителя, к которому обращаются при последующем расчете. Это позволяет существенно ускорить расчет и сократить время работы на ЭВМ.

Описанная методика расчета ГО ТНСО2 позволила получить ожидаемые характеристики теплообменных аппаратов предложенных конструкций.

Для исследования особенностей процессов теплообмена в элементах ТНСО2 специалистами кафедры “Холодильная и криогенная техника” МГУИЭ был создан специальный теплотехнический стенд (рис.4), который воспроизводит работу реального ТНСО2 при тепловых нагрузках в диапазоне 1...6 кВт, что дает возможность отрабатывать схемные решения и исследовать теплообменные аппараты с различными конструкциями и характеристиками. Использование мембранныого компрессора 1,6МК-8/200 для компримирования рабочего вещества (R744) позволяет избежать попадания в его поток масла.

С целью апробации созданного расчетного метода на стенде

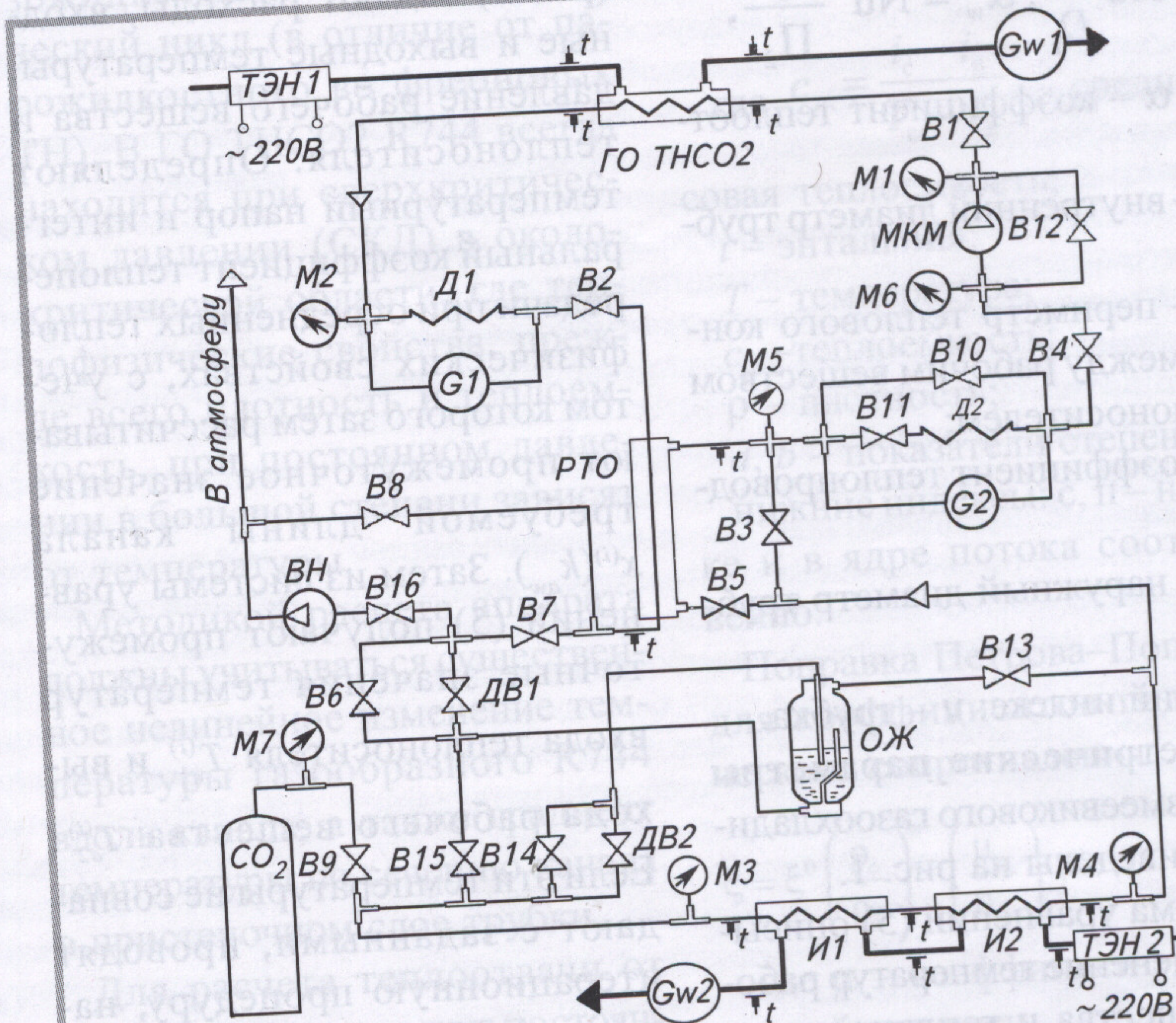


Рис. 4. Принципиальная схема теплотехнического стенда:  
МКМ – мембранный компрессор; ГО ТНСО2 – кожухозмеевиковый/соосный теплообменный аппарат; И1, И2 – испарители; РТО – регенеративный теплообменник; ОЖ – отделитель жидкости; М1...М7 – образцовые манометры; В1...В16 – запорные вентили; ДВ1, ДВ2 – регулирующие вентили; Д1, Д2 – дюзы; ТЭН 1, ТЭН 2 – электрические водонагреватели; G<sub>w1</sub>, G<sub>w2</sub> – расходомеры воды; ВН – вакуумный баллон с жидким пищевым диоксидом углерода; t – термопары

было проведено экспериментальное исследование газоохладителей двух видов: соосного (типа "труба в трубе") и кожухозмеевикового. Соосный аппарат (рис.5) позволяет получать промежуточные значения температур рабочего вещества и теплоносителя вдоль канала, что необходимо для тестирования разработанных алгоритмов, построенных на расчете изменения условий теплопередачи по длине канала; кожухозмеевиковый аппарат (рис.6) является прототипом реального газоохладителя для THCO2 малой мощности.

Экспериментальное исследование проводили в следующем диапазоне параметров: давление нагнетания  $p_2 = 9 \dots 13$  МПа; температуры: кипения  $t_0 = 5 \dots 20$  °C, газообразного R744 на входе в ГО  $t_{a1} = 70 \dots 110$  °C, на выходе из ГО  $t_{a2} = 25 \dots 45$  °C, теплоносителя на входе в ГО  $t_{w1} = 15 \dots 40$  °C, теплоносителя на выходе из ГО  $t_{w2} = 40 \dots 80$  °C; расход R744  $G_a = 0,01 \dots 0,025$  кг/с; массовая скорость R744  $M_a = 200 \dots 2000$  кг/(м<sup>2</sup> · с).

В соответствии с разработанной методикой исследования по результатам проведенных измерений определяют интегральный коэффициент теплопередачи аппарата, из которого затем получают интегральный коэффициент теплоотдачи со стороны газообразного R744, используя расчетный коэффициент теплоотдачи со стороны теплоносителя. Для расчета последнего существует достаточно надежная методика. Тем не менее для ее проверки и уточнения была проведена тарировка аппаратов на тарировочном стенде (рис. 7), где они работали по схеме вода–вода с

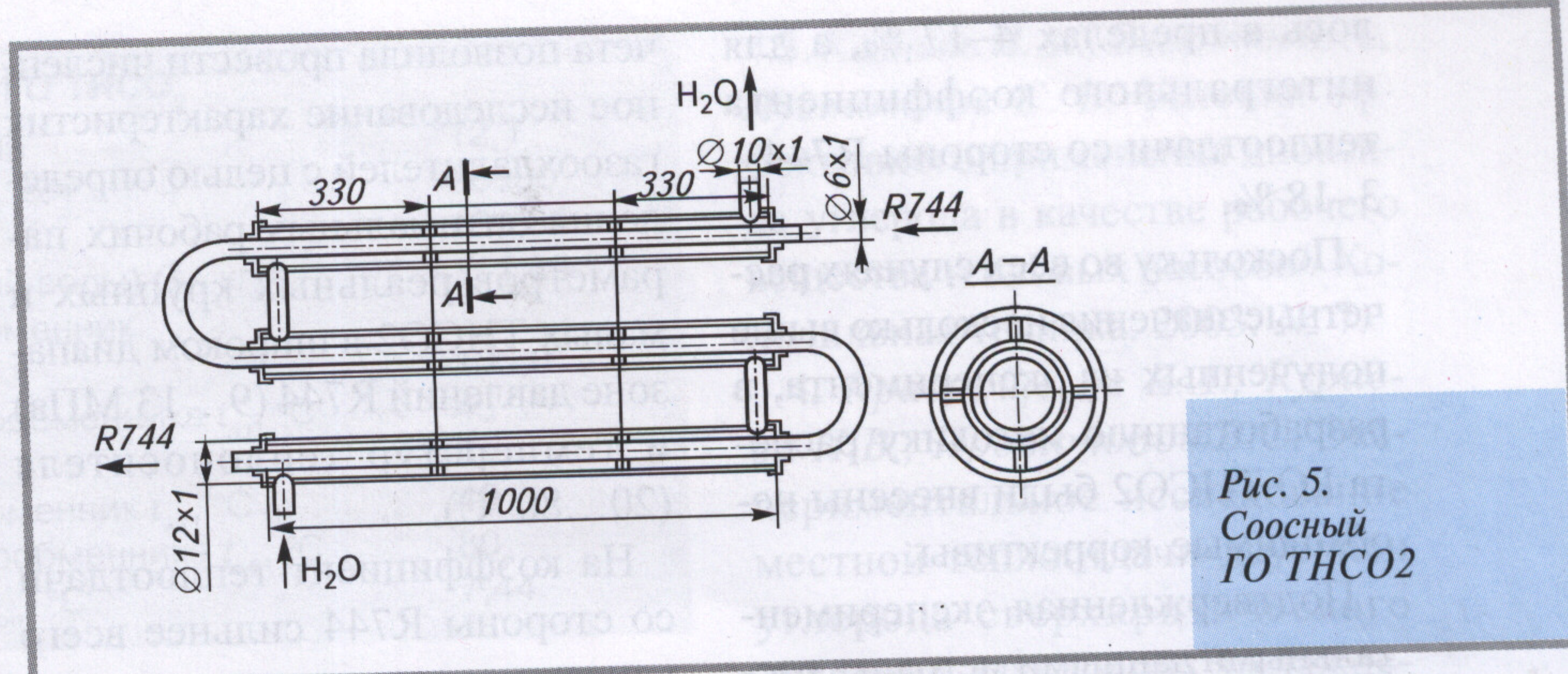


Рис. 5.  
Соосный  
ГО ТНСО2

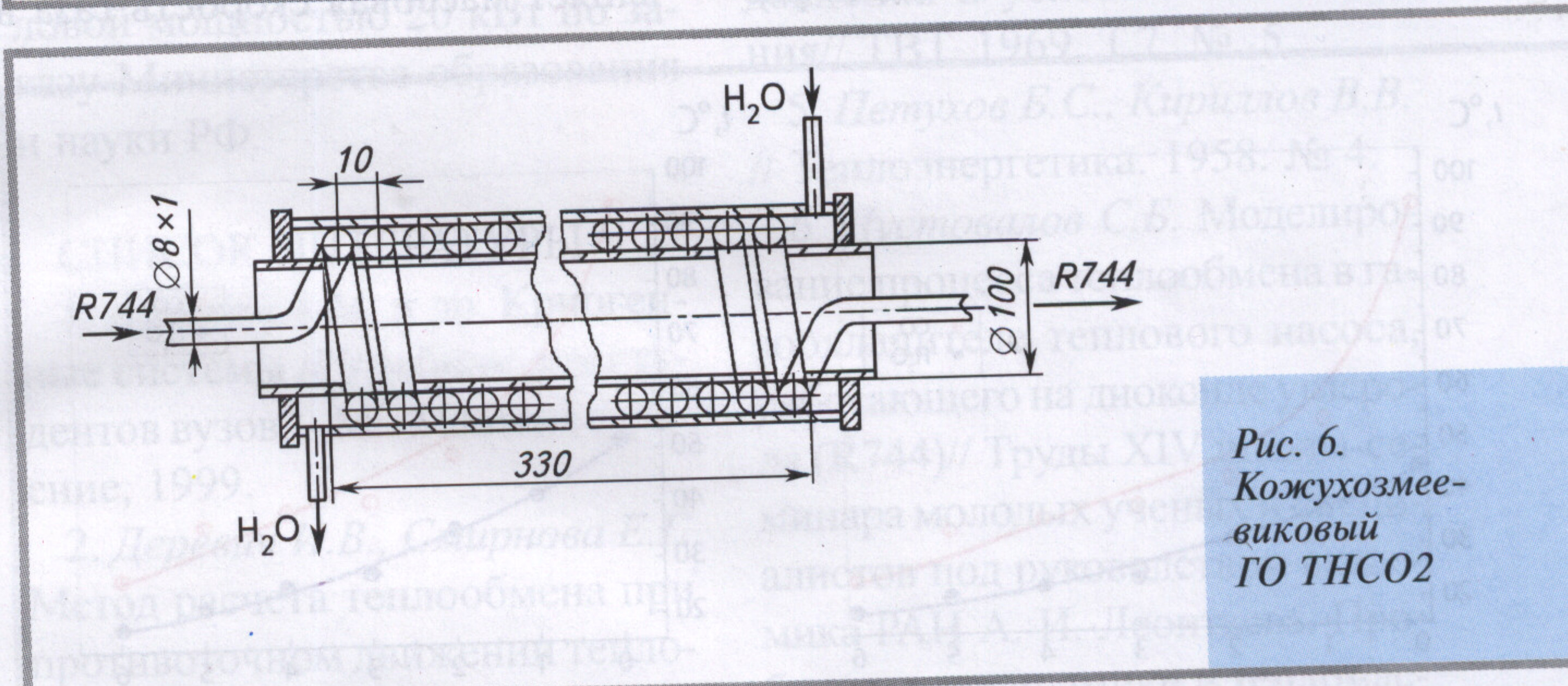


Рис. 6.  
Кожухозмеевиковый  
ГО ТНСО2

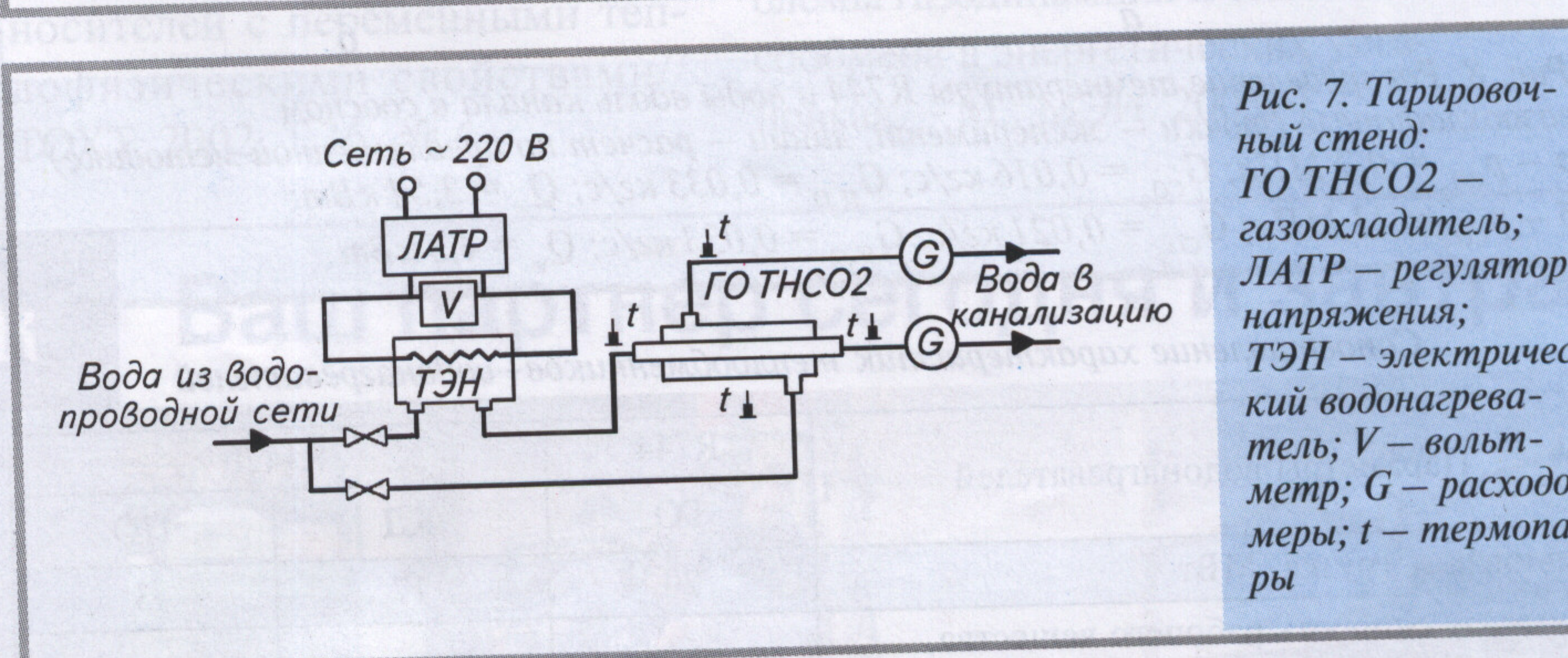


Рис. 7. Тарировочный стенд:  
ГО ТНСО2 – газоохладитель;  
ЛАТР – регулятор напряжения;  
ТЭН – электрический водонагреватель; V – вольтметр; G – расходомеры; t – термопары

подачей горячей воды в трубку, а холодной – в межтрубное пространство. Была получена экспериментальная зависимость коэффициента теплоотдачи со стороны теплоносителя от его расхода (скорости) при рабочих температурах.

Экспериментальные данные практически полностью совпали с расчетными, что указывает на отсутствие искажения проходного сечения и продольной переточки тепла в ГО.

Достоверность принятого дифференциального метода расчета аппаратов подтверждена сопоставлением расчетного и полученного из эксперимента на соосном аппарате распределения температур газообразного R744 и теплоносителя вдоль канала (рис.8). Расхождение не превышает ±10 %.

Для интегрального коэффициента теплопередачи аппарата несовпадение расчетных и экспериментальных значений находится

лось в пределах 4–17 %, а для интегрального коэффициента теплоотдачи со стороны R744 – 3–18 %.

Поскольку во всех случаях расчетные значения несколько выше полученных из эксперимента, в разработанную методику расчета ГО ТНСО2 были внесены необходимые корректировки.

Подтвержденная экспериментальными данными методика рас-

чета позволила провести численное исследование характеристик газоохладителей с целью определения оптимальных рабочих параметров реальных крупных и малых ГО ТНСО2 в широком диапазоне давлений R744 (9...13 МПа) и температур теплоносителя (20...80 °C).

На коэффициент теплоотдачи со стороны R744 сильнее всего влияет массовая скорость газа в

трубке. Ее максимальные значения лимитируются относительной потерей давления в трубке  $\Delta p_a/p_a$ , которая не должна превышать 1,5 %, чтобы избежать искахания термодинамического цикла ТНСО2. Рекомендованная массовая скорость R744 в 5–15 раз превышает допустимую для фреонов (при равной относительной потере давления), что определяется фактором  $(p \cdot \rho)^{0.5}$ . Это обуславливает высокие значения коэффициента теплоотдачи со стороны R744.

Заданная массовая скорость в ГО ТНСО2, при которой достигается максимальное значение коэффициента теплоотдачи со стороны R744, обеспечивается изменением числа трубок. Удельная масса трубок на единицу площади внутренней теплообменной поверхности  $\gamma$  ( $\text{кг}/\text{м}^2$ ) при равной прочности снижается с уменьшением диаметра. Для крупных ГО ТНСО2 с учетом ограничений по числу трубок оптимально использовать медные трубы  $\varnothing 12 \times 1,5$ , для малых ГО ТНСО2 – медные трубы  $\varnothing 8 \times 1$ . Данные трубы поставляются в бухтах длиной до 100 м.

Скорость теплоносителя (сетевая вода) также лимитируется потерей давления в канале (межтрубном пространстве), что обусловлено ограничением доли аппарата в общем гидросопротивлении сети.

На основе проведенных исследований был спроектирован реальный ГО ТНСО2 тепловой мощностью 20 МВт, исходные параметры которого приведены ниже.

В таблице дано сопоставление технико-экономических показателей спроектированного ГО и теплообменных аппаратов (конденсатор КД и переохладитель ПО), работающих в составе теп-

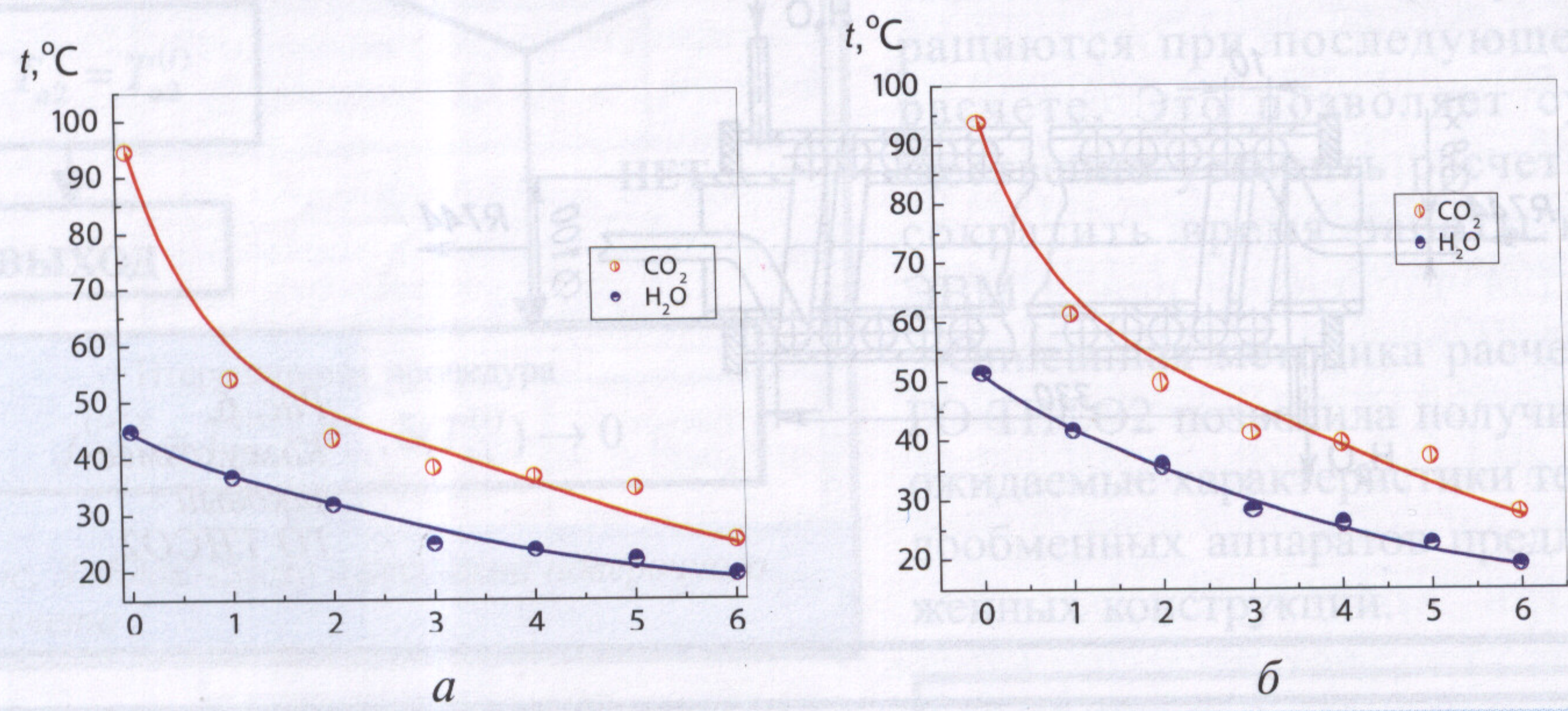


Рис. 8. Распределение температуры R744 и воды вдоль канала в соосном газоохладителе (точки – эксперимент, линии – расчет по предложенной методике):  
а –  $p_{CO_2} = 9,7 \text{ МПа}; G_{CO_2} = 0,016 \text{ кг}/\text{с}; G_{H_2O} = 0,033 \text{ кг}/\text{с}; Q_w = 3,54 \text{ кВт};$   
б –  $p_{CO_2} = 11 \text{ МПа}; G_{CO_2} = 0,021 \text{ кг}/\text{с}; G_{H_2O} = 0,033 \text{ кг}/\text{с}; Q_w = 4,5 \text{ кВт}$

#### Сопоставление характеристик теплообменников–водонагревателей

Параметры водонагревателей	R744			R142b		
	ГО	КД	ПО	ГО	КД	ПО
Тепловая нагрузка, МВт	20	17	3	20	17	3
Массовая скорость рабочего вещества, $\text{кг}/(\text{м}^2 \cdot \text{с})$	2000	–	330	2000	–	330
Коэффициент теплоотдачи рабочего вещества, $\text{kBt}/(\text{м}^2 \cdot \text{K})$	6,21	1,44	1,45	6,21	1,44	1,45
Коэффициент теплоотдачи теплоносителя, $\text{kBt}/(\text{м}^2 \cdot \text{K})$	6,31	10,34	11,5	6,31	10,34	11,5
Коэффициент теплопередачи к внутренней поверхности, $\text{kBt}/(\text{м}^2 \cdot \text{K})$	3,6	2,2	2,3	3,6	2,2	2,3
Число трубок, шт.	864	2243	823	864	2243	823
Наружный диаметр трубы, мм	12	20 ( $\phi = 3,5$ )*	–	12	20 ( $\phi = 3,5$ )*	–
Внутренний диаметр трубы, мм	9	–	16	9	–	16
Масса трубы на 1 $\text{м}^2$ внутренней поверхности, $\text{кг}/\text{м}^2$	15,4	20,2	20,2	15,4	20,2	20,2
Удельная масса трубок, $\text{кг}/\text{кВт}$	0,58	0,76	0,76	0,58	0,76	0,76
Экономия по массе трубок, R744/R142b – 24,9 %						
Удельная масса аппарата, $\text{кг}/\text{кВт}$	0,87	1,38	0,63	0,87	1,38	0,63
Экономия по массе аппарата, R744/R142b – 37,8 %						

\*  $\phi$  – коэффициент оребрения трубок.

### Параметры ГО THCO<sub>2</sub>

Давление прямого потока R744 $p_2$ , МПа	12,1
Тепловая нагрузка теплообменника $Q$ , кВт	20000
Расход прямого потока R744 $G_a$ , кг/с	109,83
Расход обратного потока (нагреваемой воды) $G_w$ , кг/с	111,88
Температура R744 на входе в теплообменник после компрессора $t_{a1}$ , °C	106,8
Температура R744 на выходе из теплообменника $t_{a1}$ , °C	45
Температура кипения R744 $t_0$ , °C	5
Температура воды на входе в теплообменник $t_{w1}$ , °C	40
Температура воды на выходе из теплообменника $t_{w2}$ , °C	80
Интегральная разность температур $\theta_{\text{инт}}$ , °C	7,44

лового насоса на R142b, при одинаковых температурах теплоносителя (температура конденсации фреона  $t_k = 85$  °C) и тепловой нагрузке.

Полученные результаты позволяют разрабатывать реальные ГО THCO<sub>2</sub>, массогабаритные показатели которых в среднем на 30 % ниже, чем у аппаратов аналогичного назначения в традиционных тепловых насосах.

Результаты работы использованы НПФ "ЭКИП" при создании пилотного образца THCO<sub>2</sub> теп-

ловой мощностью 20 кВт по заказу Министерства образования и науки РФ.

### СПИСОК ЛИТЕРАТУРЫ

1. Архаров А.М. и др. Криогенные системы // Учебник для студентов вузов. – М.: Машиностроение, 1999.
2. Деревич И.В., Смирнова Е.Г. Метод расчета теплообмена при противоточном движении теплоносителей с переменными теплофизическими свойствами// ТОХТ. 2002. Т.36. № 4.

3. Калнинь И. М., Васютин В. А., Пустовалов С. Б. Условия эффективного применения диоксида углерода в качестве рабочего вещества тепловых насосов// Холодильная техника. 2003. № 7.

4. Краснощеков Е.А., Кураева И.В., Протопопов В.С. Экспериментальное исследование местной теплоотдачи двуокиси углерода сверхкритического давления в условиях охлаждения// ТВТ. 1969. Т.7. № 5.

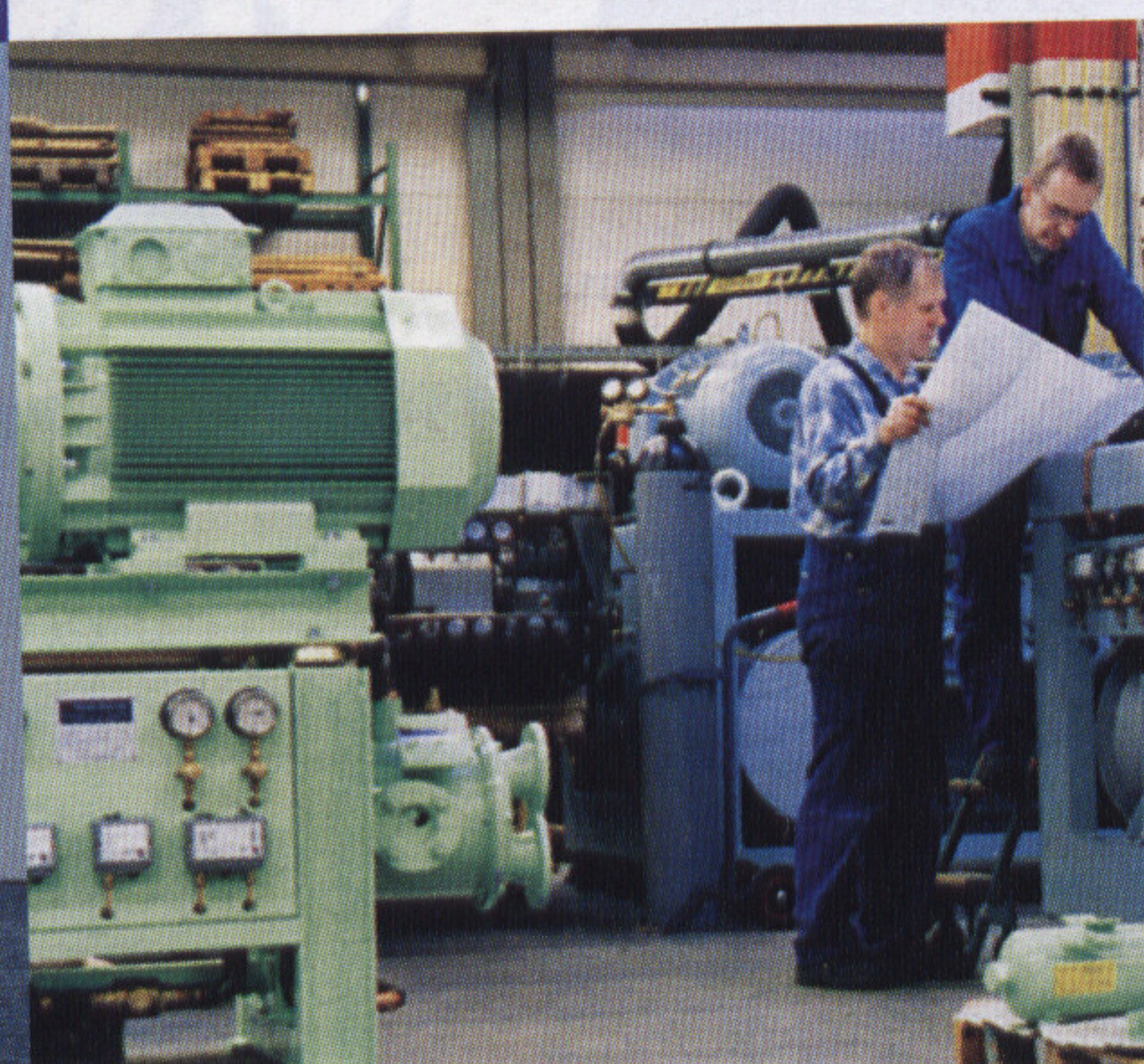
5. Петухов Б.С., Кириллов В.В. // Теплоэнергетика. 1958. № 4.

6. Пустовалов С.Б. Моделирование процесса теплообмена в газоохладителе теплового насоса, работающего на диоксиде углерода (R744)// Труды XIV школы-семинара молодых ученых и специалистов под руководством академика РАН А. И. Леонтьева. Проблемы газодинамики и тепломассообмена в энергетических установках. – М.: МЭИ. 2003. Т.2.

**NOSKE-KAESER**



**Ваш партнер сегодня и завтра**



**Производитель промышленного оборудования с опытом работы более 100 лет:**

- холодильного и морозильного оборудования
- систем вентиляции и кондиционирования воздуха

- отопительных систем
- систем пожаротушения

**Носке-Кезер ГмбХ, Германия. Предприятие концерна ТиссенКрупп АГ**

**Представительство в РФ**

123610, Москва, Краснопресненская наб., 12. Центр Международной Торговли, офис 1209

Тел. (095) 2581145 / 2581143, Моб. (095) 7628170

Факс: (095) 2581140 / 2582076, E-mail: [S.Kraft@thyssenkrupp.ru](mailto:S.Kraft@thyssenkrupp.ru)

[www.noske-kaeser.de](http://www.noske-kaeser.de)



**ThyssenKrupp**